

01; 06.1; 06.2

(C) 1992

ТУННЕЛИРОВАНИЕ ЭЛЕКТРОНОВ  
 ЧЕРЕЗ ДВУХБАРЬЕРНЫЙ ГЕТЕРОПЕРЕХОД  
 ЛЕГИРОВАННЫЙ МАГНИТНЫМИ ПРИМЕСЯМИ,  
 В ПАРАЛЛЕЛЬНЫХ ЭЛЕКТРИЧЕСКИМ  
 И МАГНИТНОМ ПОЛЯХ

В.И. С у г а к о в, С.А. Я ц к е в и ч

1. Представляет интерес изучить проявление гигантского спино-вального расщепления электронных уровней, обнаруженное в работах [1, 2] в таких двумерных системах, как гетеропереходы на основе соединений  $ZnSe$ ,  $Zn_{1-x}Mn_xSe$  и т. д. Исследованию таких систем посвящен ряд работ, появившихся в последнее время [3-5]. В предлагаемых работе проводятся расчеты вольт-амперных характеристик (ВАХ) резонансно-туннельного диода на основе двухбарьерного гетероперехода ДБГП, легированного магнитными примесями, в зависимости от внешнего магнитного поля. Ввиду сильного магнитного взаимодействия между электронами и атомами примеси, резонансные уровни электронов с различной проекцией спина на направление магнитного поля значительно отличаются. И это, как мы увидим, приводит к новым качественным эффектам.

2. Рассмотрим туннелирование электронов через ДБГП, когда электрическое и магнитное поля параллельны (рис. 1). Нами будут рассмотрены 2 случая: 1) магнитными примесями легирована яма ДБГП, 2) магнитными примесями легированы барьеры. В качестве примера таких систем в первом случае можно рассмотреть  $CdZnTe/Cd_{1-x}Mn_xTe/GdZnTe$ , а во втором  $ZnSe/Zn_{1-x}Mn_xSe/ZnSe$ . При этом концентрацию легирующей примеси будем считать достаточно высокой  $x \sim 15-20\%$ . Тогда при рассмотрении взаимодействия туннелирующего электрона с примесью можно ограничиться приближением среднего потенциала (из-за медленного изменения волновой функции на расстоянии между примесями).

В этом случае задачу можно решать в приближении эффективной массы, и уравнение Шредингера будет иметь вид:

$$\frac{1}{2m^*} \left\{ \left( p - \frac{e}{c} A \right)^2 + V(z) - e \epsilon_b(\omega) z - g \mu_B H + V_{imp} \right\} \psi = E \psi, \quad (1)$$

где  $V(z)$  – потенциал ДБГП  $V(z)=W$  при  $0 \leq z \leq b$ ,  $a+b \leq z \leq a+2b$ ;  $V(z)=0$  при  $b \leq z \leq a+b$ ,  $z \leq 0$ ,  $z \geq a+2b$ ,  $\epsilon_b(\omega)$  – напряженность электрического поля в барьере (диэлектрическая проницаемость  $\epsilon_b$ ) и в яме (диэлектрическая проницаемость  $\epsilon_\omega$ ), таким образом,

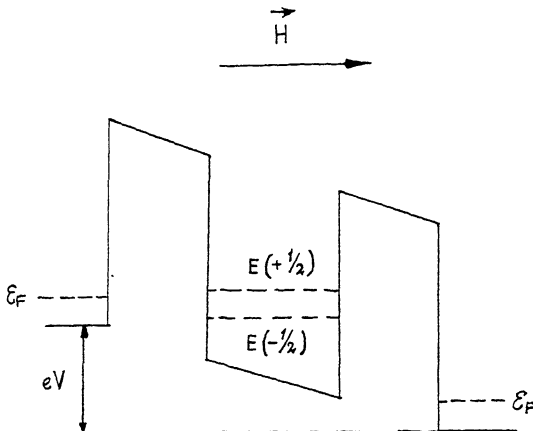


Рис. 1. Двухбарьерный гетеропереход во внешних электрическом и магнитном полях.  $V$  – приложенное напряжение,  $\mathcal{E}_F$  – энергия Ферми. Пунктиром в яме показаны резонансные уровни для электронов с  $S = \pm 1/2$ .

$$\mathcal{E}_{b(w)}(z) = \begin{cases} \frac{V_{\text{es}}}{2b\mathcal{E}_w + a\mathcal{E}_b} & z \leq 0; b \leq z \leq a+b; z \geq a+2b \\ \frac{V_{\text{ew}}}{a\mathcal{E}_b + 2b\mathcal{E}_w} & 0 \leq z \leq b \quad a+b \leq z \leq a+2b \end{cases} \quad (2)$$

$V_{imp}$  – усредненный потенциал взаимодействия электронов с примесными атомами:

$$V_{imp} = cJ \langle S_{imp} \rangle s, \quad (3)$$

где  $J$  – обменный интеграл,  $c$  – концентрация примесей,  $s$  – спин электрона,  $\langle S_{imp} \rangle$  – усредненный спин ядер примеси [6]:

$$\langle S_{imp} \rangle = B_{2J+1} \left( \frac{g\mu_B H}{kT} \right). \quad (4)$$

Учет в уравнении Шредингера только усредненного потенциала примеси соответствует принебрежению рассеянием на флюктуациях (т. к. вероятность флюктуации –  $N^{-1/2}$ ). При меньших концентрациях примеси, когда флюктуации могут играть существенную роль в рассеянии, их можно учесть аналогично [7], где рассмотрено уширение резонансного пика вследствии рассеяния на примеси. Поскольку в (1) переменные разделяются, то движение электронов параллельно границам раздела и перпендикулярно им можно рассматри-

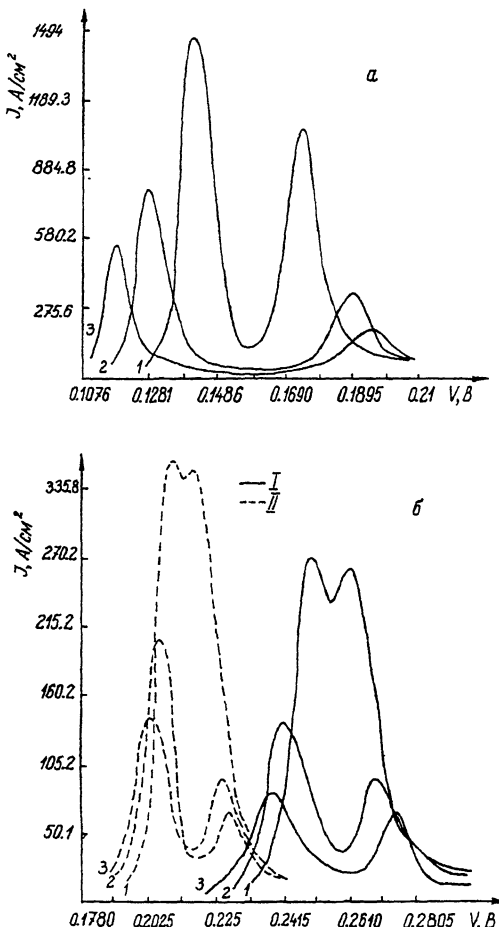


Рис. 2. Вольт-амперная характеристика ДБГП в магнитном поле в случае, когда: а - примеси находятся в яме, б - примеси находятся в барьерах ДБГП. 1 -  $H=2$  Т, 2 -  $H=6$  Т, 3 -  $H=10$  Т;  $a=60$  Å,  $b=55$  Å (1);  $a=70$  Å,  $b=55$  Å (II).

вать независимо. В этом случае (полагая  $m_w^* = m_b^*$ ) решение (1) принимает вид:

$$\psi(\vec{r}) = \psi_{\parallel}''(x, y) \psi_{\perp}(z), \quad (5)$$

$$\text{где } \psi_{II}^n(x, y) = \frac{1}{\sqrt{2\pi n}} e^{-\frac{m\omega}{\hbar}(x-x_0)^2} H_n\left(\sqrt{\frac{m\omega}{\hbar}}(x-x_0)\right),$$

$$\psi_1(z) \begin{cases} e^{ik_1 z} + r e^{-ik_1 z} & z \leq 0 \\ \alpha^+ A_i(\xi) + \alpha^- B_i(\xi) & 0 \leq z \leq b; a+b \leq z \leq a+2b \\ \beta^+ A_i(-\xi) + \beta^- B_i(-\xi') & b \leq z \leq a+b \\ t e^{ik_1' z} & z \geq a+2b \end{cases}$$

$$\xi = \left( \frac{2m^* e \epsilon_b}{\hbar^2} \right)^{1/3} \left( \frac{W + V_{imp} - \epsilon_\perp}{e \epsilon_b} - z \right),$$

$$\xi' = \left( \frac{2m^* e \epsilon_b}{\hbar^2} \right)^{1/3} \left( \frac{\epsilon_\perp}{e \epsilon_\omega} + z \right); k_\perp = \sqrt{\frac{2m^*}{\hbar^2}} \epsilon_\perp;$$

$$k_\perp' = \sqrt{\frac{2m^*}{\hbar^2} (\epsilon_\perp + eV)}; \quad \epsilon_\perp = E - \hbar\omega(n + 1/2); \quad \omega = \frac{eH}{mc}.$$

$H_n(x)$  – полиномы Эрмита порядка  $n$ ,  $A_i(\xi)$ ,  $B_i(\xi)$  – функции Эйри.

Коэффициент прохождения  $D(n, \epsilon_\perp)$  можно найти, записав условия непрерывности  $\psi_1(z)$  и  $\psi_{1z}'(z)$  на границах раздела слоев и решив полученную систему, а затем, просуммировав вклады состояний со всеми  $\epsilon_\perp$  и  $n$  с соответствующей функцией распределения, получаем выражение для тока:

$$J = \frac{e}{2\pi\hbar} \sum_n \sum_{s=\pm 1/2} \int d\epsilon_\perp D(n, \epsilon_\perp) \left\{ f(\epsilon_\perp) - f(\epsilon_\perp + eV) \right\}; \quad (6)$$

$$\text{где } f(\epsilon_\perp) = \left\{ 1 + \exp \left[ \left\{ \epsilon_\perp + \hbar\omega(n + 1/2) + g\mu_b H - \epsilon_F \right\} \right] \right\}^{-1}.$$

Таким образом, мы можем рассчитать ВАХ резонансно-туннельного диода на основе ДБГП для различных величин магнитного поля.

З. Результаты расчетов приведены на рис. 2, а (примеси находятся в яме) и б (примеси находятся в барьерах). В первом случае расчет выполнен для системы  $CdZnTe/Cd_{0.8}Mn_{0.2}Te/$

$CdZnTe$  [9] при ширине ямы  $a = 80 \text{ \AA}$  и ширине барьеров  $b = 55 \text{ \AA}$ . Видно, что ВАХ в данном случае представляет собой систему двух пиков вместо одного. Это связано с разделением по энергии резонансных уровней в яме для электронов с различной проекцией спина, что объясняется тем, что для электронов с  $S = 1/2$  дно ямы на

*cJ <Si<sub>imp</sub>>* выше, чем для электронов с  $s = -1/2$ . Во втором случае расчеты были выполнены для системы  $ZnSe/Zn_{0.85}Mn_{0.15}$   $Se/ZnSe$ , при этом значение обменного интеграла было взято из [2], величина эффективной массы так же из [2], остальные параметры  $a = 60$ ;  $70 \text{ \AA}$ ,  $b = 55 \text{ \AA}$ , температура  $T = 9 \text{ K}$ . Сравнивая рис. 2, а и б, видно, что в случае, когда атомы примеси находятся в яме, эффект расщепления пиков на ВАХ выражен сильнее (расстояние между пиками в 2–3 раза превышает расстояние между пиками ВАХ в случае, когда примеси находятся в барьерах, при том, что в первом случае обменный интеграл меньше в 1.3 раза). Объясняется это тем, что при туннелировании, из-за большого времени пребывания электрона в яме, его взаимодействие с примесями сильнее влияет на положение резонансного уровня. Малость величины расщепления пиков ВАХ при расположении примесей в барьерах связана со значительным различием между энергией резонансного уровня и высотой потенциального барьера. Сравнивая ВАХ для ямы с  $a = 60 \text{ \AA}$  и  $a = 70 \text{ \AA}$ , убеждаемся, что с увеличением ширины ямы а следовательно понижением резонансного уровня величина расщепления падает.

Рассмотренный эффект может иметь следующие приложения: а) наличие на ВАХ двух областей с отрицательным дифференциальным сопротивлением и следовательно двух участков работы генератора на ДБГП; б) изменение крутизны ВАХ ( $g = \frac{\partial J}{\partial V}$ ) с изменением магнитного поля дает возможность влиять на рабочую частоту такого генератора, поскольку, как показано в [8],  $\omega \sim |g|^{1/2}$  [наши расчеты показывают, что при  $a = 60 \text{ \AA}$   $\omega(H=2 \text{ T})/\omega(H=10 \text{ T}) = 2.1$ ]; в) возможность поляризации ядерных спинов потоком поляризованных электронов, выходящих из ДБГП. Как можно видеть из рис. 2, при определенных значениях напряжения отношение плотности потоков электронов с различной проекцией спинов может быть очень высокой [по нашим оценкам  $(J_+/J_- \sim 870)$  для случая приведенного на рис. 2, а (см. стрелку)], что приводит к поляризации ядерных спинов вследствие релаксации спинов электронов на ядрах.

Таким образом, можно считать, что рассмотренный эффект может найти применение в приборах твердотельной электроники.

#### Список литературы

- [1] Комаров А.В., Рябченко С.М., Терлецкий О.В., Жеру И.И., Ивашук Р.Д. // ЖЭТФ. 1977. Т. 73. С. 608.
- [2] Gai J.A., Galazka R.R., Nawrocki M. // Sol. St. Commun. 1978. V. 25. P. 197.
- [3] Bartolomew D.U., Furdyuna J.K., Ramdas A.K. // Phys. Rev. B. 1986. V. 34. P. 6943.

- [4] N u r m i k k o A.V., G u n s h o r R.L., K o -  
l o d i e j s k i L.A. // IEEE J. Quantum Electron.  
1986. V. QE-22. P. 1785.
- [5] J o n k e r et al. J. // Vac. Sci. Tech. 1988. V. A6.  
P. 1946.
- [6] Г у р е в и ч А.Г. // Магнитный резонанс в ферритах и анти-  
ферромагнитиках. М.: Наука, 1973. 591 с.
- [7] С у г а к о в В.И., Я п к е в и ч С.А. // ФТТ. 1991. Т. 32.  
С. 543.
- [8] C o o n D.D., L i u H.C. // Appl. Phys. Lett. 1986.  
V. 49. P. 94.
- [9] N a k a m u r a K., N a k a n o H. // Journ. of  
Phys. Soc. of Japan 1991. V. 59. P. 1154.

Поступило в Редакцию  
10 января 1992 г.